

对 NBC-128 的安全性分析

杨江帅¹, 陈怀凤¹, 鲍金凤², 康潇文³

(1. 中国电子信息产业集团有限公司第六研究所, 北京 100083;
2. 北京联合大学旅游学院, 北京 110101; 3. 61428 部队, 北京 100097)

摘要: NBC 算法是由徐洪等人设计的基于广义 Feistel 结构的分组密码算法, 支持 128/128、128/256 和 256/256 3 种分组和密钥尺寸, 其非线性部分采用 16 bit S 盒。对分组长度为 128 bit 的两个 NBC 版本算法进行了改进的安全性分析。针对不可能差分攻击, 修正了原有分析过程, 可以分析 17 轮 NBC-128/256、15 轮 NBC-128/128; 对于多维零相关攻击, 扩展了攻击轮数, 可以分析 19 轮 NBC-128/256、16 轮 NBC-128/128, 针对 NBC-128/256 的结果在轮数上是已知最长的; 对于积分攻击, 给出了新的 12 轮积分路线, 需要的数据量低于原有结果。

关键词: NBC-128 算法; 不可能差分分析; 零相关线性分析; 积分分析

中图分类号: TN918; TP309.7

文献标识码: A

DOI: 10.16157/j.issn.0258-7998.201005

中文引用格式: 杨江帅, 陈怀凤, 鲍金凤, 等. 对 NBC-128 的安全性分析[J]. 电子技术应用, 2021, 47(4): 91-96.

英文引用格式: Yang Jiangshuai, Chen Huai Feng, Bao Jinfeng, et al. Cryptanalysis of NBC-128[J]. Application of Electronic Technique, 2021, 47(4): 91-96.

Cryptanalysis of NBC-128

Yang Jiangshuai¹, Chen Huai Feng¹, Bao Jinfeng², Kang Xiaowen³

(1. The 6th Research Institute of China Electronics Corporation, Beijing 100083, China;

2. The Institute of Tourism, Beijing Union University, Beijing 110101, China; 3. 61428 Military, Beijing 100097, China)

Abstract: NBC is a family of block ciphers using Generalized Feistel structure, designed by Xu Hong et al. There are three block and key sizes, i.e., 128/128, 128/256 and 256/256. A 16-bit Sbox is involved in the cipher as the non-linear component. This paper makes improved cryptanalysis on the two NBC versions with block size 128. Using impossible differential cryptanalysis, the corrected results are given which cover 17-round NBC-128/256 and 15-round NBC-128/128. The attack rounds of multi-dimensional zero-correlation linear cryptanalysis are expanded, which covers 19-round NBC-128/256 and 16-round NBC-128/128. The 19-round attack is the longest as far as we know. Also, new 12-round integral distinguishers are proposed, which require less data compared to the existing integral attacks.

Key words: NBC-128; impossible differential cryptanalysis; zero-correlation linear cryptanalysis; integral cryptanalysis

0 引言

为推动我国密码算法的设计及实现技术发展, 培养密码学人才, 中国密码学会于 2018 年启动了全国密码算法设计竞赛, 共 22 个分组密码算法进入第一轮评估, 有 10 个算法进入第二轮评估^[1]。其中 ublock^[2]、FESH^[3]、TANGRAM^[4]和 SPRING^[5]算法采用 SPN 结构, ANT^[6]、SMBA^[7]和 Raindrop^[8]算法采用 Feistel 结构, NBC^[9-10]和 FBC^[11]算法采用广义 Feistel 结构。最终, uBlock 和 Ballet 获得一等奖, FESH、ANT 和 TANGRAM 获得二等奖, Raindrop、NBC、FBC、SMBA 和 SPRING 获得三等奖。

本文将针对 NBC 算法进行安全性分析, NBC 算法由徐洪等人设计并提出, 支持 128/128 bit、128/256 bit、256/256 bit 3 种分组和密钥尺寸。该算法的非线性 F 函数部分采用 16 bit S 盒, 由 16 级非线性反馈移位寄存器迭代

而成, 具有较低的硬件实现成本。差分分析^[12]、线性分析^[13]、不可能差分分析^[14]、零相关线性分析^[15-17]和积分分析^[18]等是分析分组密码算法安全性的主要方法, 算法设计者针对 NBC 算法的各个版本给出了初步分析结果。

针对 NBC-128 算法的两个版本, 设计者的研究表明^[9-10]: NBC-128 算法不存在 9 轮有效的线性特征和差分特征。对于不可能差分攻击和零相关线性攻击, 设计者在第二轮的提交文档^[9]中给出了 10 轮的区分器及详细的攻击过程, 后来在新版本中^[10]将两类路线各扩展一轮, 并相应地将可攻击轮数扩展了一轮。利用不可能差分分析方法, 设计者攻击 19 轮 NBC-128/256、17 轮 NBC-128/128, 利用零相关线性分析方法, 可以攻击 16 轮 NBC-128/256、15 轮 NBC-128/128。对于积分分析方法, 设计者给出了 12 轮的积分路线, 数据复杂度为 2^{127} ,

可以攻击 18 轮 NBC-128/256、16 轮 NBC-128/128。

本文将针对 NBC-128/256 和 NBC-128/128 两个版本进行独立的安全分析,主要从不可能差分分析、零相关分析和积分分析 3 种分析方法出发开展研究,相关的攻击结果比较见表 1。主要贡献如下:

(1)给出 NBC-128 算法的两类 11 轮不可能差分路线,利用其中一类不可能差分路线进行了 NBC-128/256 和 NBC-128/128 算法的不可可能差分攻击。本文认为文献[9]中的密钥猜测过程少猜了几个子密钥,达到预期攻击轮数的计算复杂度将超过穷搜密钥复杂度。表 1 给出了修正后的数据和计算复杂度估计。

(2)给出 NBC-128 算法的两类 11 轮零相关线性路线,基于其中一类零相关线性路线构造多维零相关区分器,在卡方统计法多维零相关攻击模型下进行了 NBC-128/256 和 NBC-128/128 算法的密钥恢复攻击,对于 NBC-128/256 算法可以攻击到 19 轮,对于 NBC-128/128 算法可以攻击到 16 轮,比已知的多维零相关攻击分别扩展了 3 轮和 1 轮。

(3)给出了 NBC-128 算法基于分离特性的新型 12 轮积分分路线,并进行了积分攻击,需要的数据复杂度仅为 2^{125} ,优于原有积分攻击的数据复杂度。

表 1 对 NBC-128 的攻击结果比较

算法版本	攻击类型	攻击轮数	数据复杂度	时间复杂度	参考文献
NBC-128/256	ID	18、19	--	--	[9],[10]
	ID	17	$2^{102}CP$	$2^{210.5}$	本文
	MDZC	15、16	$2^{114.8}KP$	2^{236}	[9],[10]
	MDZC	19	$2^{124.6}KP$	$2^{249.9}$	本文
	Integral	18	$2^{127}CP$	$2^{206.15}$	[9],[10]
	Integral	18	$2^{125}CP$	2^{240}	本文
NBC-128/128	ID	16、17	--	--	[9],[10]
	ID	15	$2^{100}CP$	$2^{116.51}$	本文
	MDZC	14、15	$2^{114.8}KP$	$2^{109.1}$	[9],[10]
	MDZC	16	$2^{123.3}KP$	$2^{124.11}$	本文
	Integral	16	$2^{127}CP$	$2^{93.9}$	[9],[10]
	Integral	16	$2^{125}CP$	2^{112}	本文

注:(1)攻击类型中,ID表示不可能差分攻击,MDZC表示多维零相关攻击,Integral表示积分攻击;(2)数据复杂度中,CP表示选择明文,KP表示已知明文。

1 NBC-128 算法描述

NBC-128 算法采用 8 分支广义 Feistel 结构,迭代 32

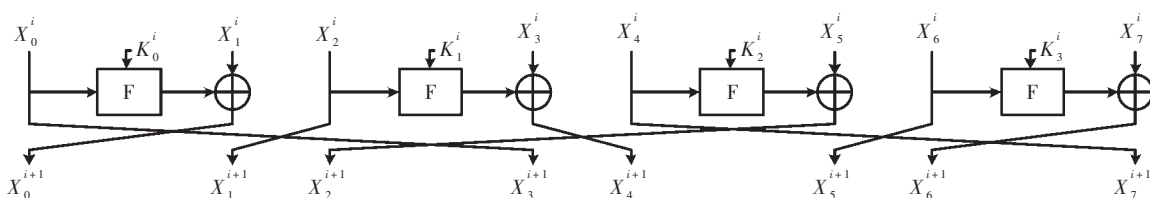


图 1 NBC-128 的轮函数

轮。每个分支 16 bit,每轮存在 4 个 F 函数,F 函数的输入为输入分支与轮密钥的异或值,经过 1 个 16 bit 的 S 盒查表,输出与另外一个分支异或,最后经过一个分支位置变换操作。在 NBC-128 算法的最后一轮,F 函数的输出与相邻分支异或后,不再进行分支位置变换操作。设第 i 轮的输入为 $X^i=(X_0^i, X_1^i, \dots, X_7^i)$,输出为 $X^{i+1}=(X_0^{i+1}, X_1^{i+1}, \dots, X_7^{i+1})$,第 i 轮的子密钥为 $K^i=(K_0^i, K_1^i, \dots, K_3^i)$,其一轮变换的结构如图 1 所示。

NBC-128 算法存在 256 bit 和 128 bit 两个密钥尺寸,本文的主要研究与密钥扩展算法关联不大,此处不再给出 NBC-128 算法的密钥扩展算法。

2 对 NBC-128 算法的不可可能差分分析

2.1 NBC-128 算法的 11 轮不可可能差分路线

本节给出 NBC-128 算法的两类新型 11 轮不可可能差分路线,其中第一类不可可能差分路线在文献[10]中已被提出。

命题 1:(NBC-128 的第一类 11 轮不可可能差分路线)

$(0, \Delta, 0, 0, 0, 0, 0, 0) \rightarrow (0, 0, 0, \Delta, 0, \Gamma, 0, 0)$ 是 NBC-128 算法的一条 11 轮不可可能差分路线,最后一轮不包括位置置换,其中 $\Delta, \Gamma \neq 0, \Delta \neq \Gamma$,图 2 给出了该不可可能差分路线的矛盾产生过程,图中 * 表示差分非零,? 表示差分不确定,空白位置表示差分为 0。

命题 2:(NBC-128 的第二类 11 轮不可可能差分路线)

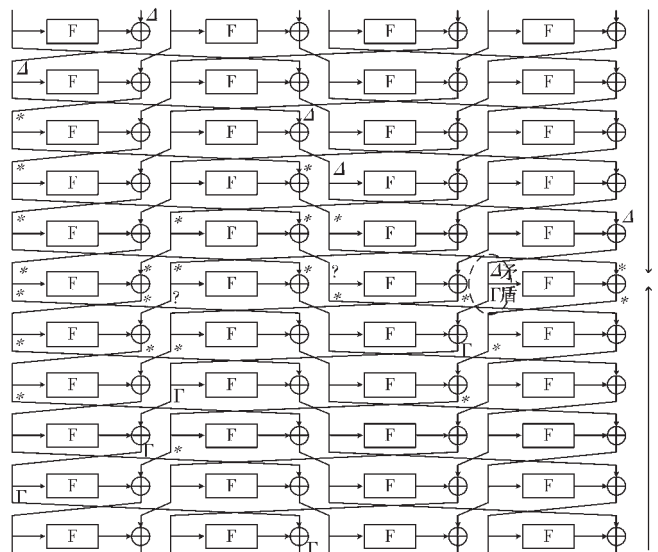


图 2 NBC-128 的第一类 11 轮不可可能差分路线

$(0, \Delta, 0, 0, 0, 0, 0, 0) \rightarrow (0, 0, 0, \Delta, 0, \Gamma, 0, 0)$ 是 NBC-128 算法的一条 11 轮不可能差分路线, 最后一轮不包括位置置换, 其中 $\Delta, \Gamma \neq 0$, 且 Δ 与 Γ 相互独立, 图 3 给出了该不可能差分路线的矛盾产生过程, 图中 * 表示差分非零, ? 表示差分不确定, 空白位置表示差分为 0。

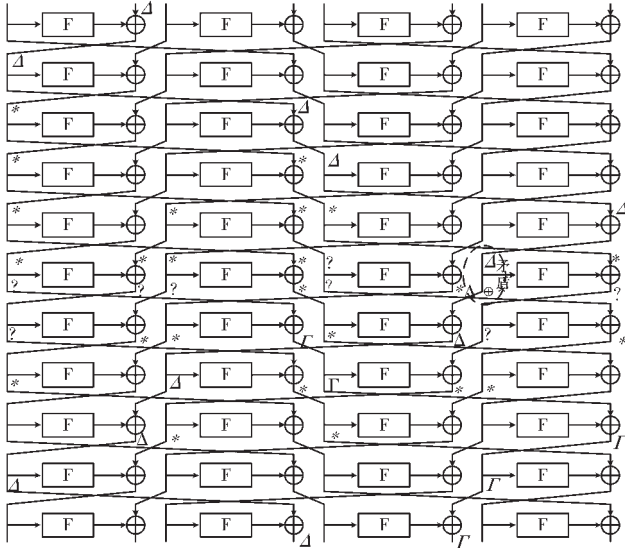


图 3 NBC-128 的第二类 11 轮不可能差分路线

实际上, NBC-128 算法为每一轮具有 4 个 F 函数的广义 Feistel 结构, 通过移动输入差分、输出差分中非零差分的位置, 可以构造一系列类似的 11 轮不可能差分路线, 从结构以及攻击能力方面考虑与上述路线等价, 此处不再给出具体细节。

2.2 对 NBC-128/256 算法的不可能差分攻击

在文献[9]、[10]中的不可能差分分析过程中, 认为作者漏猜了几个子密钥, 因此实际攻击效果达不到预期的那么好。利用第一类 11 轮不可能差分路线, 本文对 NBC-128/256 算法进行修正的不可能差分攻击, 图 4 给出了攻击过程中的差分及符号, 主要攻击过程如下:

(1) 构造 Structure: $S_c = \{X = (X_0, X_1, X_2, X_3, X_4, X_5, X_6, X_7) | (X_0, X_4, X_5) = c, \text{其他位置遍历}\}$, 则每个 Structure 中有 2^{80} 个元素, 可以构造约 2^{159} 组合 $(0, *, *, *, 0, 0, \Delta, *)$ 的差分对 (Δ 取遍非零可能值)。

(2) 通过构造 m 个 Structure, 可以构造 $2^t = 2^{159} \times m \times 2^{-48}$ 个明文差分符合 $(0, *, *, *, 0, 0, \Delta, *)$, 相应的密文差分符合 $(0, *, 0, 0, *, *, \Gamma, *)$, $\Gamma \neq \Delta, \Gamma \neq 0$ 的正确数据对。

(3) 按照表 2 进行密钥猜测及错误对剔除, 对于每一个错误密钥, 每一个正确对被留下的概率为 $2^{-16 \times 8} = 2^{-128}$ 。对于错误密钥, 没有差分对被留下的概率为 $p = (1 - 2^{-128}) 2^t \approx 2^{-114 \times (t-128)}$, 即剩余约 $2^{256} \times p$ 个候选正确密钥。

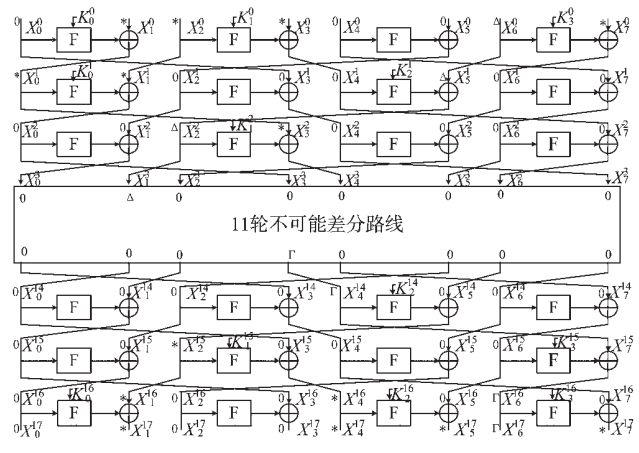


图 4 NBC-128/256 的 17 轮不可能差分攻击

(4) 利用两个明文对进行候选正确密钥的穷搜, 完成密钥恢复攻击。

复杂度估计: 选取 $m = 2^{22}$ 个 Structure, 共需要 2^{102} 个选择明文。此时, 步骤(3)的总计算复杂度约为 $2^{159+80} = 2^{239+22-48+80} = 2^{213}$ 次简单计算, 步骤(4)的穷搜复杂度为 $2^{256} \times p \approx 2^{209.82}$ 次 17 轮加密。总时间复杂度约为 $2^{210.5}$ 次 17 轮加密。

表 2 对 NBC-128/256 的不可能差分攻击

状态差分	猜测密钥	剔除概率	余下对数	时间
$X_0^0(0), X_1^0(*), X_2^0(*), X_3^0(*), X_4^0(0), X_5^0(0), X_6^0(\Delta), X_7^0(*)$			2^{-7}	
$X_0^0(0), X_1^0(*), X_6^0(\Delta), X_7^0(*), X_1^1(*), X_4^1(0)$	K_1^0	2^{-16}	2^{-16}	2^{16}
$X_0^0(0), X_1^0(*), X_1^1(*), X_4^1(0), X_1^1(\Delta), X_1^1(0)$	K_3^0	2^{-16}	2^{-32}	2^{16}
$X_4^1(0), X_5^1(\Delta), X_6^2(0), X_3^2(*)$	K_0^0, K_1^0	2^{-16}	2^{-48}	2^{16}
$X_1^2(\Delta), X_4^3(0)$	K_2^1, K_1^2	2^{-16}	2^{-64}	$2^{16} \times 2^{48}$
$X_0^{17}(0), X_1^{17}(*), X_2^{17}(*), X_3^{17}(*), X_4^{17}(0), X_5^{17}(0), X_6^{17}(\Delta), X_7^{17}(*)$			2^{-64}	
$X_0^{17}(0), X_1^{17}(*), X_4^{16}(*), X_5^{16}(0), X_4^{16}(*), X_5^{16}(0)$	K_2^{16}	2^{-16}	2^{-80}	2^{48}
$X_0^{17}(0), X_1^{17}(*), X_4^{16}(*), X_5^{16}(0), X_6^{16}(\Gamma), X_7^{16}(0)$	K_3^{16}	2^{-16}	2^{-96}	2^{48}
$X_5^{16}(0), X_6^{16}(\Gamma), X_2^{15}(*), X_3^{15}(0)$	K_6^{16}, K_1^{15}	2^{-16}	2^{-112}	2^{64}
$X_4^{14}(\Gamma), X_5^{14}(0)$	K_1^{15}, K_2^{14}	2^{-16}	2^{-128}	2^{80}

2.3 对 NBC-128/128 算法的不可能差分攻击

对于 NBC-128/128 算法, 主密钥长度仅有 128 bit, 只能在区分器前后各添加两轮进行 15 轮密钥恢复攻击。

通过选择 2^{52} 个 $S_c = \{X = (X_0, X_1, X_2, X_3, X_4, X_5, X_6, X_7) | (X_2, X_3, X_4, X_6, X_7) = c, \text{其他位置遍历}\}$ 类型的结构体, 可以构造 $2^{52+95-80} = 2^{67}$ 个输入差分符合 $(*, *, 0, 0, 0, \Delta, 0, 0)$ 、输出差分符合 $(0, *, 0, 0, *, 0, \Gamma, 0)$ 、 $\Gamma \neq \Delta$ 的数据对, 用类似于上述的密钥猜测及错误对剔除, 对于错误密钥, 无差分对剩余的概率为 $p = (1 - 2^{-64}) 2^{67} \approx 2^{-11.52}$ 。错误对剔除的总计算量约为 $2^{67+48} = 2^{115}$ 次简单计算, 剩余约 $2^{128} \times 2^{-11.52} = 2^{116.48}$, 总时间复杂度约为 $2^{116.51}$ 次 15 轮

加密。需要的数据量为 $2^{52+48}=2^{100}$ 个选择明文。

3 对 NBC-128 算法零相关线性分析

3.1 NBC-128 算法的 11 轮零相关线性路线

本节给出 NBC-128 算法的两类新型 11 轮零相关线性路线,其中第一类零相关线性路线在文献[10]中已被提出。

命题 3:(NBC-128 的第一类 11 轮零相关线性路线)

$(\alpha, 0, 0, 0, 0, 0, 0, 0) \rightarrow (0, 0, 0, 0, \beta, 0, 0, 0)$ 是 NBC-128 算法的一条 11 轮零相关路线,最后一轮不包括位置置换,其中 $\alpha, \beta \neq 0, \alpha \neq \beta$,图 5 给出了该零相关线性路线的矛盾产生过程,* 表示掩码非零,? 表示掩码不确定,空白位置表示掩码为 0。

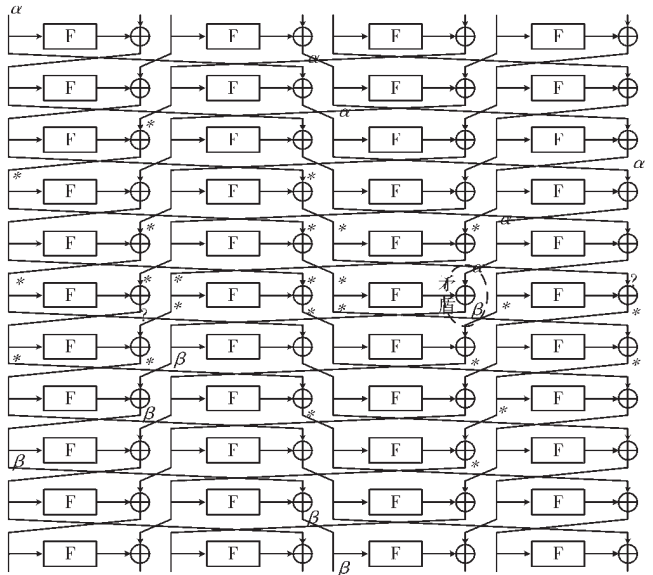


图 5 NBC-128 的第一类 11 轮零相关路线

命题 4:(NBC-128 的第二类 11 轮零相关线性路线)

$(\alpha, 0, 0, 0, 0, 0, 0, 0) \rightarrow (0, 0, 0, 0, \alpha, 0, \beta, 0)$ 是 NBC-128 算法的一条 11 轮零相关线性路线,最后一轮不包括位置置换,其中 $\alpha, \beta \neq 0$,且 α 与 β 相互独立,图 6 给出了该零相关线性路线的矛盾产生过程,* 表示掩码非零,? 表示掩码不确定,空白位置表示掩码为 0。

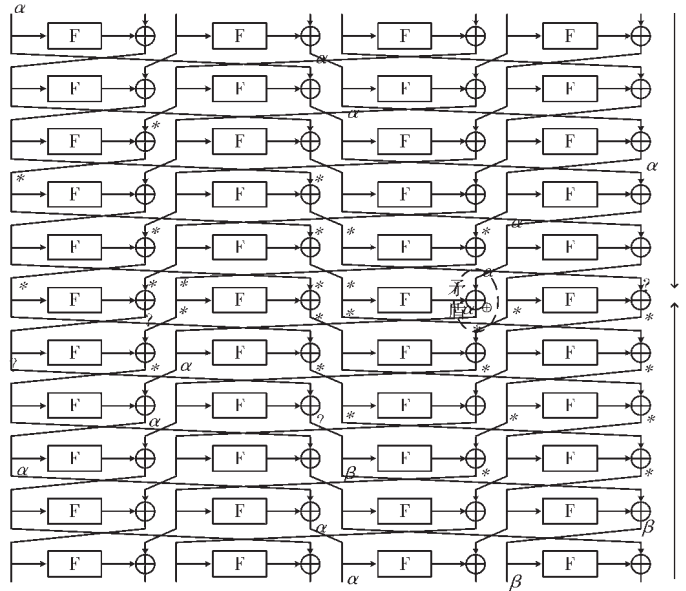


图 6 NBC-128 的第二类 11 轮零相关路线

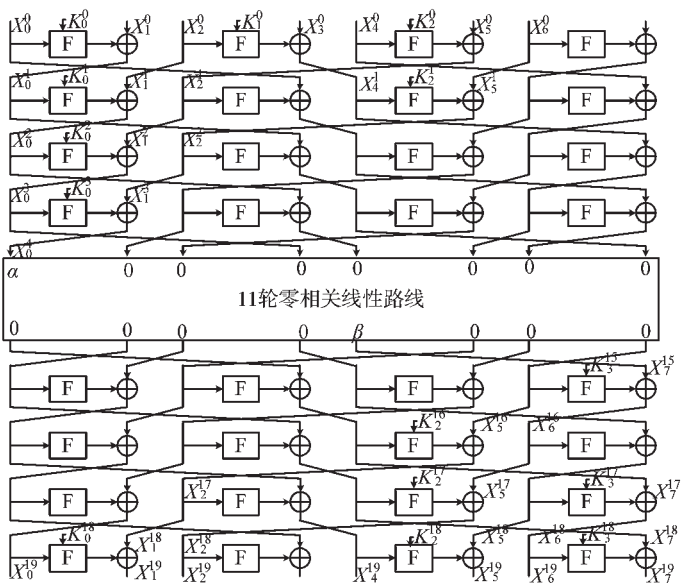


图 7 NBC-128/256 的 19 轮零相关攻击

3.2 对 NBC-128/256 的多维零相关线性攻击

通过选取特定形式的输入掩码和输出掩码,可以构造 $t=12$ 维的多维零相关线性区分器,例如选取 $\alpha=0^4||0^6||0^6, \beta=0^4||0^6||0^6$ 的零相关路线。在该区分器前后各添加 4 轮进行 19 轮算法的密钥恢复攻击,相关状态及猜测的密钥情况如图 7 所示,具体攻击过程如下:

(1)对于 N 个已知明文及其相应的密文数据,猜测 128 bit 密钥 $K_0^0, K_1^0, K_2^0, K_2^1, K_0^1, K_2^1, K_3^1, K_2^1$ 可以计算得到 $X_{0,1,2}^1, X_2^2, X_{1,5,6}^{18}, X_5^{17}$,对于 X_2^2, X_5^{17} ,根据区分器的输入、输出掩码表示,共需存储 t bit 即可,因此可将中间状态存储于 2^{96+t} 个计数器中。该步骤需要的计算复杂

度约为 $N \times 2^{128}$ 次 8 个 S 盒的查表。

(2)猜测 K_1^0 , 计算得到 $X_{0,1}^2, X_2^2, X_{1,5,6}^{18}, X_5^{17}$,可存储于 2^{80+t} 个计数器中。该步骤需要的计算复杂度约为 $2^{96+t} \times 2^{128+16} = 2^{240+t}$ 次 1 个 S 盒的查表。

(3)同上,依次进行密 $K_0^2, K_0^3, K_3^{17}, K_2^{16}, K_3^{15}$ 的猜测及状态压缩,每次猜测的密钥长度为 16 bit,计数器个数每次减少为之前的 2^{-16} ,该步骤需要的计算复杂度约为 $2^{96+t} \times 2^{128+16} \times 5 = 2^{240+t} \times 5$ 次 1 个 S 盒的查表。

(4)最终得到 t 维的计数器向量,计算统计数并保留小于阈值 τ 的密钥,剩余约 $2^{256} \times \alpha_1$ 个候选密钥,这里 α_1 表示将错误密钥判定为正确密钥的概率。通过至多两个明文数据进行穷搜攻击,恢复各轮密钥。

复杂度估计^[19-20]:通过设置两类错误概率 $\alpha_0=2^{-2.7}$, $\alpha_1=2^{-11}$, 这里 α_0 表示将正确密钥判定为错误密钥的概率, 可以计算出需要的不同已知明文数据复杂度为 $N \approx 2^{24.5537}$, 区分密钥使用的阈值为 $\tau=3803.173$ 。步骤(1)需要的计算复杂度约为 $T_1=N \times 2^{128} \times (8/(4 \times 19)) \approx 2^{249.3058}$; 步骤(2)和步骤(3)需要的计算复杂度约为 $T_2=2^{240+t} \times 6 \times (1/(4 \times 19)) \approx 2^{248.337}$; 步骤(4)需要的计算复杂度约为 $T_3=2^{245}$ 。综上, 总计算复杂度约为 $2^{249.9487}$ 次 19 轮加密。

3.3 对 NBC-128/128 的多维零相关线性攻击

利用类似的 $t=8$ 维的多维零相关路线, 可以在前后分别添加 2 和 3 轮, 针对 NBC-128/128 算法进行 16 轮的攻击。沿用图 7 的表示, 进行第 3~18 轮的攻击, 攻击过程如下:

(1) 对于 N 个不同的已知明文及其密文数据, 可压缩为存储 $X_{0,1}^2, X_2^2, X_{1,5,6}^{18}, X_2^{18}$ 个数的计数器。对于 X_2^2, X_2^{18} , 根据区分器的输入、输出掩码表示, 共需存储 t bit 即可, 因此可将中间状态存储于 2^{96+t} 个计数器中。

(2) 猜测 16 bit 密钥 K_0^2 , 可计算得到 $X_0^3, X_1^3, X_{1,5,6,7}^{18}$, X_2^{18} , 可存储于 2^{80+t} 个计数器中。该步骤需要的计算复杂度约为 $2^{96+t} \times 2^{16} = 2^{112+t}$ 次 1 个 S 盒的查表。

(3) 同上, 依次进行密钥 $K_0^3, K_2^{17}, K_3^{16}, K_2^{15}, K_3^{15}$ 的猜测及状态压缩, 每次猜测的密钥长度为 16 bit, 计数器个数每次减少为之前的 2^{-16} 。该步骤需要的计算复杂度约为 $2^{112+t} \times 5$ 次 1 个 S 盒的查表。

(4) 最终得到 t 维的计数器向量, 计算统计数并保留小于阈值 τ 的密钥, 剩余约 $2^{128} \times \alpha_1$ 个候选密钥。通过至多两个明密文数据进行穷搜攻击, 恢复各轮密钥。

复杂度估计^[9-10]:通过设置两类错误概率 $\alpha_0=2^{-2.7}$, $\alpha_1=2^{-8}$, 可以计算出需要的不同已知明文数据复杂度为 $N \approx 2^{123.3548}$, 区分密钥使用的阈值为 $\tau=15905.54$ 。步骤(1)需要的计算复杂度约为 $T_1=N$ 次状态压缩; 步骤(2)和步骤(3)需要的计算复杂度约为 $T_2=2^{112+t} \times 6 \times (1/(4 \times 16)) \approx 2^{122.585}$; 步骤(4)需要的计算复杂度约为 $T_3=2^{120}$ 。综上, 总计算复杂度不超过为 $2^{124.1069}$ 次 16 轮加密。

4 NBC-128 算法的积分攻击

4.1 NBC-128 算法的积分路线

利用 Todo 的分离特性^[21]搜索方法, 实现了广义 Feistel 结构的搜索算法, 并对 NBC-128 进行了积分路线搜索。搜索得到的 NBC-128 算法最长积分路线为 12 轮, 需要的数据复杂度为 2^{125} , 基于分离特性的积分路线如表 3 所示(文献[9]、[10]中给出的数据量为 2^{127})。

第 4 条分离特性路线的积分特性见命题 5。

命题 5: (NBC-128 的一条积分路线)

$(A_{16}, A_{16}, A_{16}, A_{16}, A_{16}, A_{16}, A_{16}, A_{13}, A_{16}) \rightarrow (U, U, U, U, U, U,$

表 3 NBC-128 的积分路线

轮数	输入分离特性 $D_{K_{in}}^{16,16,16,16,16,16}$	输出分离特性 $D_{K_{out}}^{16,16,16,16,16,16,16}$
12	$K_{in} = (13, 16, 16, 16, 16, 16, 16)$	$K_{out} = \{(0, 0, 0, 0, 0, 0, 0, 1), (0, 0, 0, 0, 0, 0, 0, 1, 0), (0, 0, 0, 0, 0, 1, 0, 0), (0, 0, 0, 0, 1, 0, 0, 0), (0, 0, 0, 1, 0, 0, 0, 0), (0, 0, 1, 0, 0, 0, 0, 0), (0, 2, 0, 0, 0, 0, 0, 0), (1, 0, 0, 0, 0, 0, 0, 0)\}$
12	$K_{in} = (16, 16, 13, 16, 16, 16, 16)$	$K_{out} = \{(0, 0, 0, 0, 0, 0, 0, 1), (0, 0, 0, 0, 0, 0, 1, 0), (0, 0, 0, 0, 0, 1, 0, 0), (0, 0, 0, 0, 1, 0, 0, 0), (0, 0, 0, 2, 0, 0, 0, 0), (0, 0, 1, 0, 0, 0, 0, 0), (0, 1, 0, 0, 0, 0, 0, 0), (1, 0, 0, 0, 0, 0, 0, 0)\}$
12	$K_{in} = (16, 16, 16, 16, 13, 16, 16)$	$K_{out} = \{(0, 0, 0, 0, 0, 0, 0, 1), (0, 0, 0, 0, 0, 0, 1, 0), (0, 0, 0, 0, 0, 2, 0, 0), (0, 0, 0, 0, 1, 0, 0, 0), (0, 0, 0, 1, 0, 0, 0, 0), (0, 0, 1, 0, 0, 0, 0, 0), (0, 1, 0, 0, 0, 0, 0, 0), (1, 0, 0, 0, 0, 0, 0, 0)\}$
12	$K_{in} = (16, 16, 16, 16, 16, 16, 13, 16)$	$K_{out} = \{(0, 0, 0, 0, 0, 0, 0, 2), (0, 0, 0, 0, 0, 0, 1, 0), (0, 0, 0, 0, 0, 1, 0, 0), (0, 0, 0, 0, 1, 0, 0, 0), (0, 0, 0, 1, 0, 0, 0, 0), (0, 0, 1, 0, 0, 0, 0, 0), (0, 1, 0, 0, 0, 0, 0, 0), (1, 0, 0, 0, 0, 0, 0, 0)\}$

$U, B)$ 是 NBC-128 算法的一条 12 轮积分路线, 最后一轮包括位置置换, 其中 A_n 表示 n 个比特遍历, $16-n$ 个比特取常数, U 表示异或和状态不确定, B 表示异或和为 0, 对应着存在积分特性的分支。

4.2 对 NBC-128/256、NBC-128/128 算法的积分攻击

对 NBC-128 的攻击过程与文献[9]中的描述大部分相同, 下面不详细描述具体细节, 只说明攻击中的不同点。

(1) 本文采用的积分路线需要的数据量为 2^{125} , 而不是 2^{127} 。

(2) 在使用 2^{125} 数据量的积分区分器下, 只有一个分支存在积分特性, 该分支状态异或和为 16 bit 全 0 时对应的密钥为候选正确密钥, 剩余密钥量为总密钥量的 2^{-16} 。

(3) 对于 NBC-128/256, 利用 12 轮积分路线可以攻击 18 轮算法, 计算一个分支异或和的计算复杂度约为 $2^{204.15}$ 。因此, 使用一条积分路线攻击时, 总计算复杂度为 $2^{204.15} + 2^{256-16} \approx 2^{240}$ 。

(4) 对于 NBC-128/128, 利用 12 轮积分路线可以攻击 16 轮算法, 计算一个分支异或和的计算复杂度约为 $2^{92.32}$ 。因此, 使用一条积分路线攻击时, 总计算复杂度为 $2^{92.32} + 2^{128-16} \approx 2^{112}$ 。

5 结论

本文针对 NBC-128 的两个密钥尺寸版本的算法, 给出改进的不可能差分分析、多维零相关线性分析和积分分析结果。其中不可能差分攻击对之前的攻击进行了修正, 零相关线性分析在攻击轮数上有所扩展, 积分分析则降低了攻击的数据复杂度。针对 NBC-128/256 的 19 轮多维零相关线性攻击从轮数上来说是最优攻击。参考文献

[1] 中国密码学会. 全国密码算法设计竞赛进入第二轮分组

- 算法[EB/OL].(2019-xx-xx)[2020-10-13].http://sfjs.cacnet.org.cn/site/term/list_76_1.html.
- [2] 吴文玲,张蕾,郑雅菲,等.分组密码 uBlock[J].密码学报, 2019, 6(6): 690-703.
- [3] 贾珂婷,董晓阳,魏淙滔,等.分组密码算法 FESH[J].密码学报, 2019, 6(6): 713-726.
- [4] 张文涛,季福磊,丁天佑,等.TANGRAM: 一个基于比特切片的适合多平台的分组密码[J].密码学报, 2019, 6(6): 727-747.
- [5] 田甜,戚文峰,叶晨东,等.基于 NFSR 的分组密码算法 SPRING[J].密码学报, 2019, 6(6): 815-834.
- [6] 陈师尧,樊燕红,付勇,等.ANT 系列分组密码算法[J].密码学报, 2019, 6(6): 748-759.
- [7] 王克,贾文义,黄念念.SMBA 分组密码算法[J].密码学报, 2019, 6(6): 786-802.
- [8] 李永清,李木舟,付勇,等.Raindrop:面向硬件设计的分组密码算法[J].密码学报, 2019, 6(6): 803-814.
- [9] 徐洪,段明,谭林,等.NBC 算法[EB/OL].(2019-12-05)[2020-10-13].http://sfjs.cacnet.org.cn/site/content/424.html.
- [10] 徐洪,段明,谭林,等.NBC 算法[J].密码学报, 2019, 6(6): 760-767.
- [11] 冯秀涛,曾祥勇,张凡,等.轻量级分组密码算法 FBC[J].密码学报, 2019, 6(6): 768-785.
- [12] BIHAM E, SHAMIR A. Differential cryptanalysis of DES-like cryptosystems[C]. CRYPTO 1990, Springer Berlin Heidelberg, 1991, 537: 2-21.
- [13] MATSUI M. Linear cryptanalysis method for DES cipher[C]. EUROCRYPT 1993, Springer Berlin Heidelberg, 1993, 765: 386-397.
- [14] BIHAM E, BIRYUKOV A, SHAMIR A. Cryptanalysis of skipjack reduced to 31 rounds using impossible differentials[C]. EUROCRYPT 1999, Springer Berlin Heidelberg, 1999, 1592: 12-23.
- [15] BOGDANOV A, RIJMEN V. Linear hulls with correlation zero and linear cryptanalysis of block ciphers[J]. Designs Codes & Cryptography, 2014, 70(3): 369-383.
- [16] BOGDANOV A, WANG M. Zero-correlation linear cryptanalysis with reduced data complexity[C]. FSE 2012, Springer Berlin Heidelberg, 2012, 7549: 29-48.
- [17] BOGDANOV A, LEANDER G, NYBERG K, et al. Integral and multidimensional linear distinguishers with correlation zero[C]. ASIACRYPT 2012, Springer Berlin Heidelberg, 2012, 7658: 244-261.
- [18] KNUDSEN L R, WAGNER D. Integral cryptanalysis 2[C]. FSE 2002, Springer Berlin Heidelberg, 2002, 2365: 112-127.
- [19] CHEN H F, CUI T T, WANG M Q. Improving algorithm 2 in multidimensional(zero-correlation) linear cryptanalysis using χ^2 -method[J]. Designs Codes & Cryptography, 2016, 81(3): 523-540.
- [20] SUN L, CHEN H F, WANG M Q. Zero-correlation attacks: statistical models independent of the number of approximations[J]. Designs Codes & Cryptography, 2018, 86(9): 1923-1945.
- [21] TODO Y. Structural evaluation by generalized integral property[C]. EUROCRYPT 2015, Lecture Notes in Computer Science, Springer, Berlin, Heidelberg, 2015, 9056: 287-314.

(收稿日期: 2020-10-13)

作者简介:

杨江帅(1989-),男,博士研究生,工程师,主要研究方向:信息安全与密码。

陈怀凤(1990-),通信作者,男,博士研究生,工程师,主要研究方向:对称密码算法的安全性分析, E-mail: chenhf@ncse.com.cn。

鲍金凤(1969-),通信作者,女,博士研究生,讲师,主要研究方向:旅游文化、北京历史文化, E-mail: lytjinfeng@bnu.edu.cn。

康潇文(1983-),女,硕士研究生,助理研究员,主要研究方向:虚拟存储、云计算、数据融合。

(上接第 90 页)

- 规避窄带干扰技术[J].系统工程与电子技术, 2011, 33(6): 1403-1406.
- [13] 杜秀丽,甄旭亮,邱少明.混沌与 Walsh 复合扩频序列性能分析[J].大连大学学报, 2013, 34(6): 13-17.
- [14] WANG F H, XIE H, HUANG Z T. Blind reconstruction of convolutional code based on segmented Walsh-Hadamard transform[J]. Journal of Systems Engineering and Electronics,

2014, 25(5): 748-754.

- [15] 玉苏甫江·依拉依木,任平安.基于 Hadamard 矩阵的随机网络编码[J].电子科技, 2012, 25(5): 105-107.

(收稿日期: 2020-11-12)

作者简介:

安巧静(1987-),通信作者,女,博士,工程师,主要研究方向:数据分析与处理, E-mail: anqjoc@163.com。

孙志成(1983-),男,本科,工程师,主要研究方向:数据处理。

版权声明

经作者授权，本论文版权和信息网络传播权归属于《电子技术应用》杂志，凡未经本刊书面同意任何机构、组织和个人不得擅自复印、汇编、翻译和进行信息网络传播。未经本刊书面同意，禁止一切互联网论文资源平台非法上传、收录本论文。

截至目前，本论文已经授权被中国期刊全文数据库（CNKI）、万方数据知识服务平台、中文科技期刊数据库（维普网）、DOAJ、美国《乌利希期刊指南》、JST 日本科技技术振兴机构数据库等数据库全文收录。

对于违反上述禁止行为并违法使用本论文的机构、组织和个人，本刊将采取一切必要法律行动来维护正当权益。

特此声明！

《电子技术应用》编辑部

中国电子信息产业集团有限公司第六研究所